



# تأثیر انتفاب روشهای تحلیل خطر بر اقتصاد طرح سد بهشت آباد

هادی جراحی<sup>\*</sup>، ایرج گلابتونچی<sup>۱</sup>، محسن پورکرمانی<sup>۲</sup> و ملیمه نادعلیان<sup>۳</sup>

1) کارشناسی ارشد تکنولوژیک، دانشگاه آزاد اسلامی واحد تهران شمال، hadijarahi@gmail.com

2) دانشجوی دکترای تکنولوژیک، دانشگاه آزاد اسلامی واحد علوم تحقیقات و فناوری

3) استاد، گروه زمین‌شناسی، دانشگاه آزاد اسلامی واحد علوم تحقیقات و فناوری

4) کارشناس گروه زمین‌شناسی، دانشگاه صنعتی شهرورد

<sup>\*</sup>) عهده‌دار مکاتبات

دریافت: ۹۱/۴/۴ دریافت اصلاح شده: ۹۲/۱/۲۳ پذیرش: ۹۲/۱/۲۵ قابل دسترس در تارنما: ۹۲/۵/۳۱

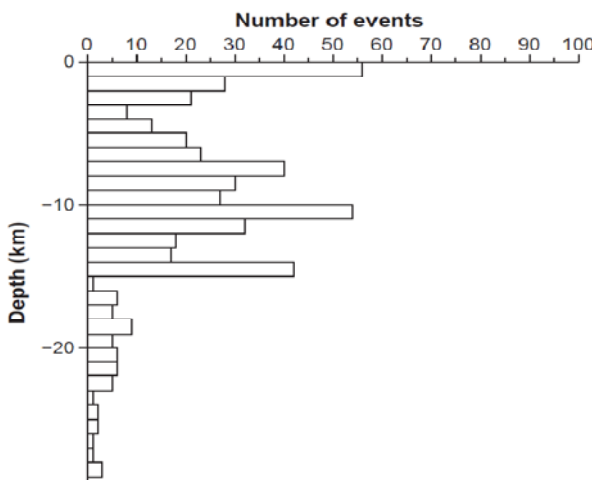
## مکیده

سد بهشت آباد، در استان قزوین و در ۶۵ کیلومتری شمال غرب شهر آبیک قرار دارد. زمین‌لرزه‌های رخ داده در این پهنه، از نوع کم عمق بوده و اغلب دارای گسیختگی سطحی هستند. در این مقاله سعی شد تا با استفاده از نقشه‌های زمین‌ساخت، بررسی عکس‌های هوایی و ماهواره‌ای و بانک داده‌های لرزه‌ای منطقه سیمای لرزه‌خیزی محدوده سد مشخص گردد. تحلیل خطر زمین‌لرزه براساس پراکنش، نوع و ریخت‌شناسی گسل‌ها و همچنین داده‌های زمین‌لرزه‌های گذشته و معاصر انجام شد. این تحلیل‌ها با بکارگیری نرم‌افزار EZ-Frisk و با استفاده از روابط کاهنگی مناسب، به دو روش تعیینی و احتمالی صورت گرفت. بر مبنای روش تعیینی، مهم ترین سناریوی لرزه‌ای مربوط به گسل آبیک است که در صورت فعالیت، توانایی ایجاد بیشینه شتاب را در ساختمان خواهد داشت. اما در روش جدید، جدایش خطر لرزه‌ای که به منظور تعیین زمین‌لرزه کنترل کننده انجام شد، نشان‌دهنده اهمیت بیشتر گسل‌های طالقان، شمال تهران و شمال کرج (در فاصله دورتر) تسبیت به گسل آبیک (در فاصله نزدیک تر) در ایجاد بیشینه شتاب می‌باشد. پس از طراحی سد بر مبنای نتایج هر دو روش، در صورت استفاده از روش جدایش خطر لرزه‌ای، به میزان ۱۴ درصد صرفه جویی اقتصادی در هزینه‌های اجرایی سد بهشت آباد حاصل می‌گردد.

**واژه‌های کلیدی:** تحلیل خطر زمین‌لرزه، نرم‌افزار EZ-Frisk، روابط کاهنگی، صرفه جویی اقتصادی.

## ۱- مقدمه

است. از آن جایی که سد بهشت آباد بر اساس بیشینه زمین‌لرزه ممکن است. در ساختگاه (Maximum Credible Level: MCL) (گلابتونچی، ۱۳۹۰)، هزینه‌های اجرایی بالایی را به خود اختصاص می‌دهد. عمده ترین روش محاسبه شتاب برای سطح طراحی MCL روش تعیینی است که معمولاً از دقت بالایی برخوردار نمی‌باشد. در نتیجه، برای برآورد پارامترهای شتاب بر اساس زمین‌لرزه کنترل کننده، از روش جدید جدایش خطر لرزه‌ای استفاده شده است. در این مقاله مختصات  $10^{\circ}$  عرض شمالی و  $20^{\circ}$  طول شرقی قرار گرفته



تصویر ۱- ژرفای کانونی زمین لرزه های منطقه

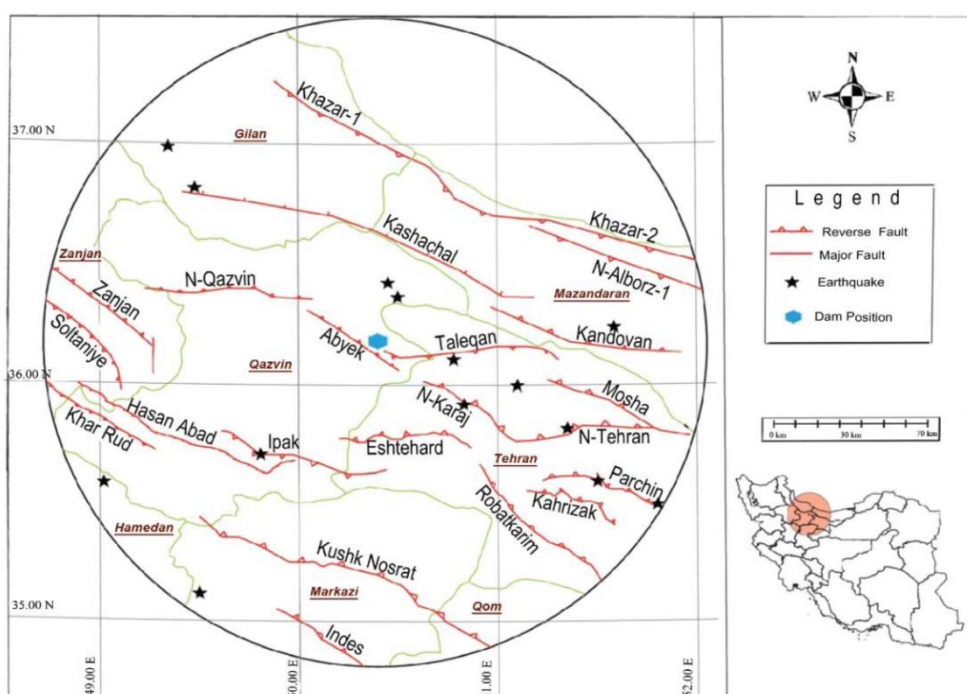
برای شناسایی گسل‌ها، روندهای ساختاری و همچنین پیشینه لرزه‌خیزی منطقه، ابتدا زمین شناسی، زمین ساخت و لرزه زمین ساخت محدوده مورد مطالعه بررسی می‌شود. سپس پارامترهای لرزه خیزی، دوره بازگشت و احتمال رخداد زمین لرزه‌ها بر حسب بزرگای آن‌ها محاسبه و در تحلیل خطر زمین لرزه به چشم‌های لرزه‌زا نسبت داده می‌شوند.

به منظور برآورد پارامترهای جنبش نیرومند زمین که شامل بیشینه مقادیر شتاب افقی (Peak Horizontal Acceleration, PHA) و قائم (Peak Vertical Acceleration, PVA) در سطوح مختلف طراحی لرزه‌ای می‌باشد، از روش‌های تعیینی (Deterministic Seismic Hazard Analysis, DSHA) و احتمالی (Probabilistic Seismic Hazard Analysis, PSHA) استفاده شده است.

#### ۴- تکتونیک منطقه

وجود گسل‌های اصلی و در عین حال فعال (Nazari 2005)، از ویژگی‌های ساختاری این محدوده می‌باشد. در جدول ۱، فهرست گسل‌های منطقه بر اساس نزدیک‌ترین فاصله تا ساختگاه سد به همراه پارامترهای لرزه خیزی و بزرگای پیشینه که از روابط تجربی (زارع ۱۳۷۴، Ambraseys & Jackson 1998، Nowroozi 1985، Wells & Coppersmith 1994 Nazari et al. 2009، ۱۳۹۰، Martini et al. 1997، Ritz et al. 2003، همچنین نرخ لغزش (قلی پور و همکاران ۱۳۹۰) ارایه شده است. موقعیت این گسل‌ها در تصویر ۲ نشان داده شده است.

محدوده مورد مطالعه در واحد زمین ساختی البرز گرفته است (Berberian 1976). از جمله ویژگی‌های لرزه زمین ساختی این واحد، تعداد نسبتاً کم زمین لرزه با بزرگای متوسط تا زیاد می‌باشد. ژرفای کانونی زمین لرزه‌ها نیز در این منطقه کم و در حدود ۱۲ کیلومتر می‌باشد (تصویر ۱). بررسی زمین لرزه‌های رخداد در محدوده مورد مطالعه، نشان‌دهنده سطح بالای لرزه خیزی منطقه است. بنابراین می‌توان گفت که این پهنه از گذشته تا کنون شاهد رخداد زمین لرزه‌ای با بزرگای حدود ۷ و حتی بیشتر بوده است.



تصویر ۲- لرزه زمین ساخت محدوده ۱۵۰ کیلومتری سد بهجهت آباد

جدول ۱ - پارامترهای لرزه خیزی گسل‌های محدوده‌ی ۱۵۰ کیلومتری سد بهجهت آباد

(mm/year)	Mmax	(km)	فاصله	طول (km)	نام گسل
6.42E-03	6.5	2		50	آیک
4.44E-03	6.8	10		81	طالقان
6.27E-03	6.7	15		76	شمال قزوین
6.13E-03	6.5	27		51	شمال کرج
7.20E-03	6.6	40		64	اشتهراد
6.13E-03	6.6	40		64	شمال تهران
4.14E-03	7.2	48		167	کشاچال
6.13E-03	6.8	50		79	آپک
7.04E-03	6.8	55		89	کندوان
6.57E-03	7	72		122	رباط کریم
6.23E-03	7	80		112	حسن آباد
8.86E-03	7.2	80		170	شمال البرز
3.00E-03	6.5	93		53	مشا
1.31E-03	6.4	97		48	کهریزک
2.05E-03	7.3	97		178	خر-۲
1.37E-03	6.1	98		28	شمال ری
2.05E-03	7.1	99		142	خر-۱
2.30E-03	7.2	100		170	کوشک نصرت
6.21E-03	6.9	104		102	زنجان
6.23E-03	7	117		111	سلطانیه
1.31E-03	6.2	120		32	پارچین
7.04E-03	6.7	127		74	ایندس
5.72E-03	7	134		115	فیروزکوه

### ۳- لرزه فیزی

زمین لرزه‌های ماقبل تاریخ (Ritz et al. 2012) و تاریخی (Ambraseys & Melville 1982, Berberian 1995) در محاسبات ضروری است. فهرست رویدادهای مهیب منطقه پس از حذف پیش Powell & Duda 1975, Gardner & (Knopoff 1974) در جدول ۲ ارائه گردیده است.

در محاسبه پارامترهای لرزه خیزی ابتدا لازم است تا سابقه لرزه خیزی منطقه بررسی شود. با توجه به کوتاه بودن نسبی بازه زمانی زمین لرزه‌های دستگاهی (معین فر و همکاران ۱۳۷۳، Engdahl et al. 2006) در مقایسه با دوره بازگشت زمین لرزه‌های بزرگ، استفاده از

جدول ۲- فهرست زمین لرزه‌های اصلی منطقه

(km)	فاصله (Ms)	رومکز			تاریخ
		عرض	طول	برگزار	
70	>6. 5	49. 98	36. 70	4500BC	
109	>7. 0	49. 48	36. 82	3000BC	
118	7. 1	51. 50	35. 60	855	
95	7. 4	51. 35	35. 82	958/02	
42	6. 5	50. 00	36. 38	1119/ 12	
48	7. 2	50. 83	35. 92	1177/05	
31	7. 2	50. 45	36. 43	1485/ 08	
26	7. 4	50. 50	36. 37	1608/ 04	
121	6. 5	50. 00	37. 20	1678/ 02	
120	7. 1	51. 40	35. 53	1830/ 03	
72	7. 2	49. 81	35. 71	1962/ 09	
131	7. 4	49. 34	36. 98	1990/ 06	
139	6. 4	49. 02	35. 58	2002/ 06	
108	6. 3	51. 58	36. 24	2004/ 05	

مطابق جدول ۳ حاصل گردید. بر این اساس، نرخ لرزه خیزی ( $\lambda$ ) در شعاع ۱۵۰ کیلومتری به بیشترین مقدار خود می‌رسد.

جدول ۳- ضرائب لرزه خیزی منطقه

(km)	شعاع	$\beta$	$\lambda$	Mmax
100		1.54±0.05	0.19±0.09	7.72±0.51
150		1.60±0.03	0.49±0.05	7.78±0.53
200		1.72±0.05	0.08±0.07	7.83±0.55

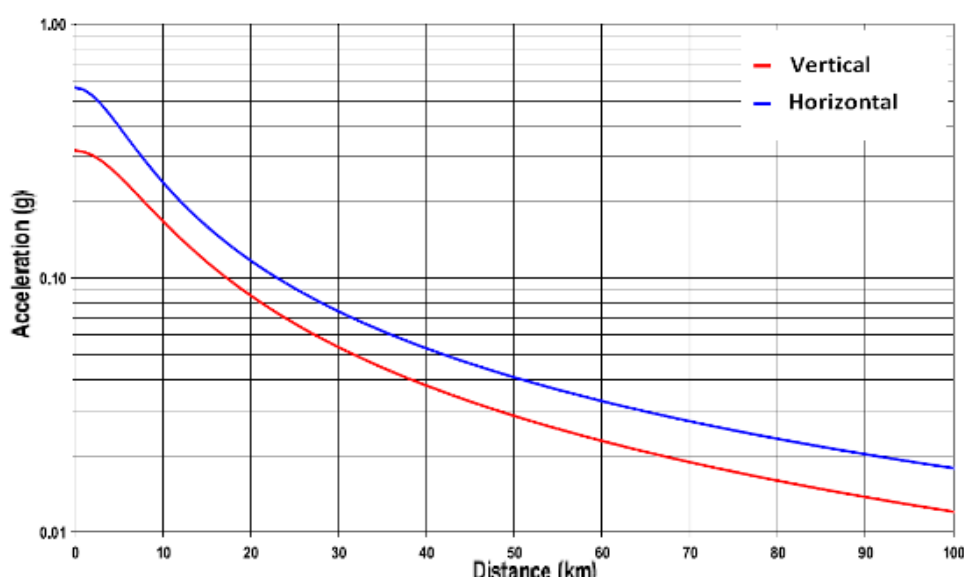
### ۱۱-۱- بروآورد فطر زمین لرزه به روش تعیینی

از این روش برای محاسبه حداقل شتاب ممکنه زمین (MCL) برای دوره بازگشت ۲۴۷۵ سال استفاده می‌شود. با شناسایی چشممه های لرزه زمین، تعیین پارامترهای آن ها و استفاده از روابط کاهندگی (Abrahamson & Silva 1997, Somerville et al. 2001, Campbell & Bozorgnia 2003, Ambraseys et al. 2005) مشخص شد که مهم ترین چشممه لرزه‌زا نسبت به ساختگاه سد، گسل آبیک می‌باشد. این گسل با توان لرزه زایی  $Ms = 7/5$  در جنوب ساختگاه سد و در فاصله ۲ کیلومتری از آن قرار گرفته است که در پریود نزدیک به صفر (Peak Ground Acceleration, PGA) با توانایی تحمل بیشینه، شتاب افقی و قائم آن در محل سد به ترتیب  $0/47$  و  $0/34$  و  $0/41$  گال می‌باشد (تصویر ۳).

بزرگ‌ترین زمین لرزه رخ داده در گستره مورد مطالعه شامل زمین لرزه های ۲۳ فوریه ۹۵۸ میلادی ری- طالقان، ۲۰ آوریل ۱۶۰۸ میلادی روبارات- طالقان و زمین لرزه ۲۰ ژوئن ۱۹۹۰ میلادی روبار - منجیل می‌باشد.

### ۱۱-۱- بروآورد پارامترهای لرزه خیزی

در محاسبه ضرائب لرزه خیزی منطقه، عمدۀ ترین روش ایجاد رابطه خطی (Gutenberg & Richter 1956) بین بزرگ‌گا و فراوانی زمین لرزه های دستگاهی می‌باشد. این روش دارای دو نقص عمدۀ است، یکی آن‌که فهرست زمین لرزه ها ناقص و دارای عدم قطعیت در برخی پارامترها بوده و دیگر آن‌که در این روش فقط از زمین لرزه‌های دستگاهی ثبت شده استفاده می‌شود و بخش عظیمی از سابقه لرزه خیزی گذشته را در نظر نمی‌گیرد. اما روش های جدید و امروزی (Kijko & Sellevoll 1992, Kijko 2011)، با اعمال عدم قطعیت‌ها و استفاده از زمین لرزه های ما قبل تاریخ به روش تخمین بیشینه محتمل (Maximum Likelihood Estimate, MLE) (Kijko 2011) و تاریخی، پارامترهای لرزه خیزی را با دقت مطلوبی در اختیار می‌گذارد. با استفاده از این روش در انجام محاسبات، نتایج نهایی برای گستره های شعاعی  $100$ ،  $150$  و  $200$  کیلومتری منطقه مورد مطالعه،



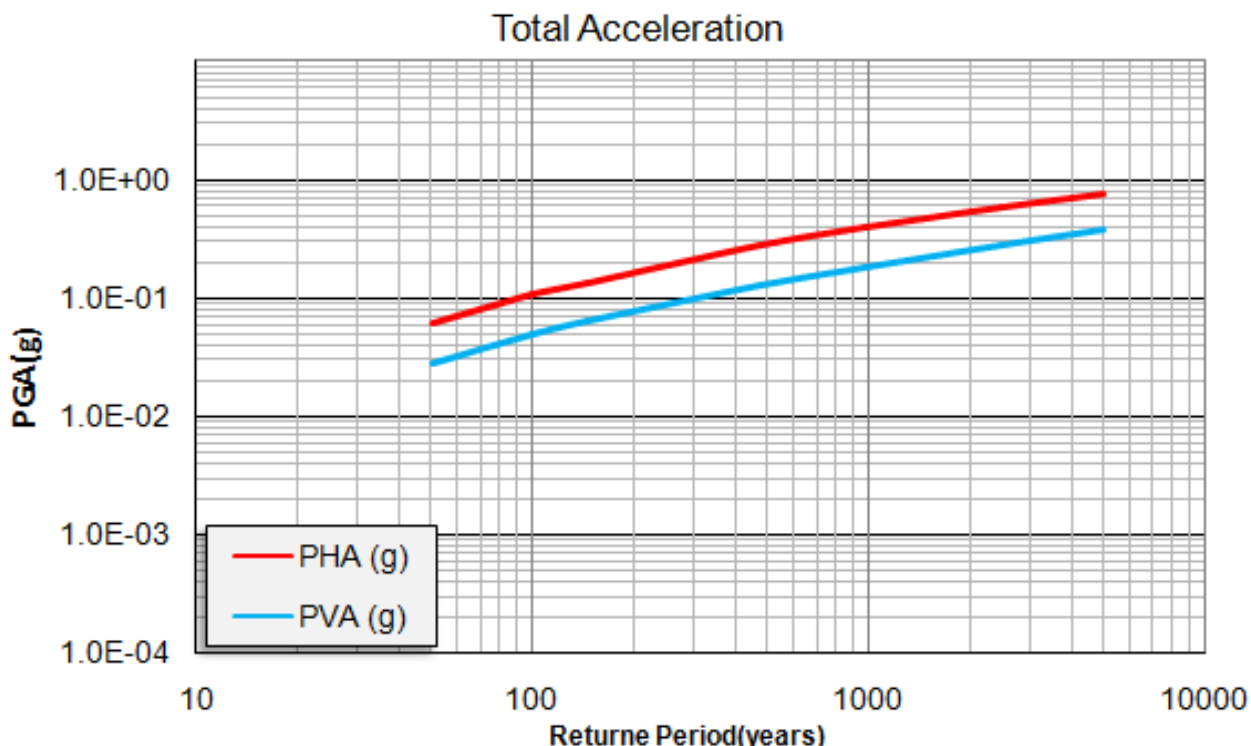
تصویر ۳- منحنی شتاب افقی و قائم زمین به روش تعیینی در ساختگاه سد بهجهت آباد

این روش، شامل شناسایی چشممه های لرزه‌زا و استفاده از مدل‌های کاهندگی مناسب است (مشابه روش تعیینی). در ادامه، با در نظر گرفتن ضرائب لرزه خیزی هر چشممه و محاسبه تابع چگالی، احتمال و بزرگ‌گا و در نهایت با دادن ضرائب وزنی مساوی به هر یک از روابط کاهندگی،

### ۱۱-۲- بروآورد فطر زمین لرزه به روش احتمالی

از این روش برای محاسبه سطوح مختلف طراحی لرزه ای مانند (Design Basis Level, DBL)، (Maximum Design Level, MDL) استفاده می‌شود. مراحل اولیه (Construction Level, CL)، (Construction Level, CL)، (DBL)

منحنی میانگین شتاب در سایت مورد نظر به دست آمد (تصویر ۴). با سطوح طراحی، نتایج روش احتمالی بر اساس جدول ۴ پیشنهاد می‌تووجه به توصیه‌های موجود (نیری و همکاران ۱۳۷۵) برای انتخاب گردد.



تصویر ۴- منحنی میانگین شتاب افقی و قائم زمین به روش احتمالی در ساختگاه سد بهجهت آباد

دارد (جراحی ۱۳۹۰). در این روش، خطر لرزه‌ای توسط یک یا چند زلزله غالب با بزرگای  $M$  در فاصله  $R$  ارائه می‌شود و پارامترهای زلزله برای اهداف مهندسی با استفاده از این جفت‌های  $M$  و  $R$  انتخاب می‌شوند. معمولاً نمودارهای تفکیک خطر لرزه‌ای به صورت ستون‌های عمودی هستند که ارتفاع آن‌ها متناسب با مشارکت هر چشمۀ در خطر لرزه‌ای و محورهای افقی فاصله و بزرگی زلزله می‌باشند. به بیان دیگر، برخلاف روش تحلیل خطر که احتمالات مختلف با یکدیگر جمع می‌شوند، در تفکیک خطر لرزه‌ای این احتمالات بر احتمال مجموع تقسیم می‌شوند تا مشارکت نسبی هر یک از چشمۀ‌ها در خطر لرزه‌ای به دست آید (Bazzurro & Cornell 1999).

مشارکت‌های نسبی چشمۀ‌ها اغلب بر حسب یک محدوده مشخص بزرگا و فاصله ظاهر می‌شوند. فرآیند تفکیک کردن مشارکت‌های لرزه‌ای در آرایه‌ای از محدوده‌های بزرگا و فاصله، بسته‌بندی (Binning) نامیده می‌شود. با فرض این که  $h_i = \hat{a} \cdot h_k$  باشد (که جمع روی همه چشمۀ‌ها است)،  $h_i$  وزن مشارکت بسته آم است و  $k$  یک نشانه روی هر دو پارامتر موقعیت و بزرگا می‌باشد. بزرگا و فاصله متوسط بصورت رابطه ۱ تعریف می‌شوند (Harmsen, & Frankel 2001)

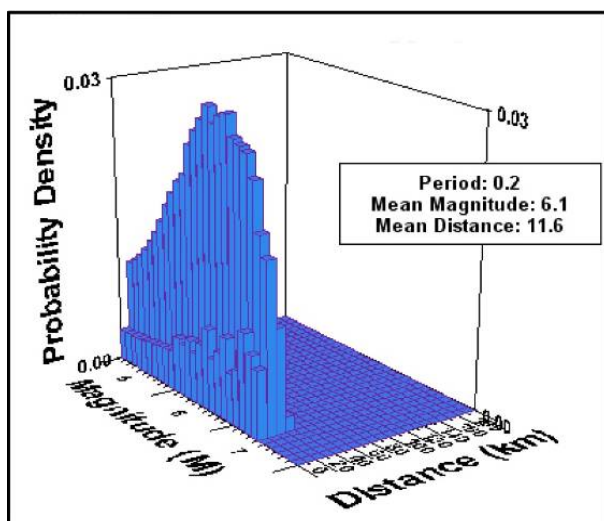
جدول ۴- شتاب زمین در سطوح مختلف طراحی

سطح طراحی لرزه‌ای	دوره بازگشت (سال)	شتاب زمین	افقی	قائم
CL	100	0/16	0/18	
DBL	475	0/21	0/23	
MDL	975	0/22	0/36	

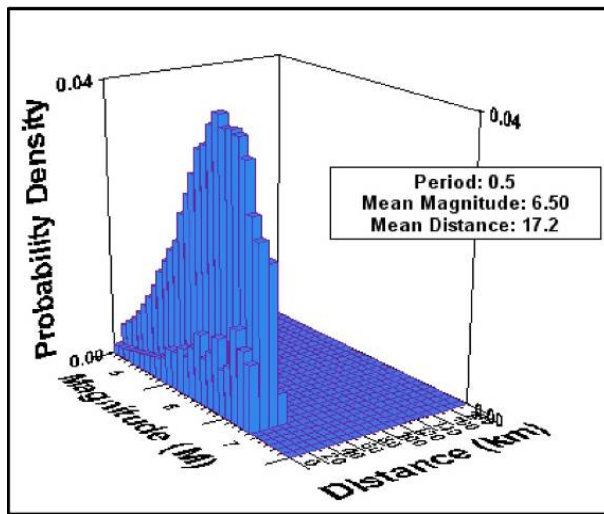
#### ۱۴- هدایش فط لرزه‌ای بزرگ-فاصله (Deaggregation)

در دهه اخیر، در کنار تحلیل خطر زلزله، تفکیک خطر لرزه‌ای نیز مطرح شده که نقطه مقابل روش قدیمی تعیینی می‌باشد. از این روش برای برآورد زمین لرزه کنترل کننده در فواصل مختلف و در نهایت شتاب حاصله استفاده می‌شود. فرآیند تعیین مشارکت نسبی در خطر لرزه‌ای بر حسب بزرگا و فاصله، تفکیک خطر لرزه‌ای نامیده می‌شود که در آن میزان مشارکت چشمۀ‌های لرزه‌ای (برای فواصل مختلف و بزرگی‌های مختلف)، در شتاب حاصله ارائه می‌گردد تا مشخص شود که کدام چشمۀ لرزه‌ای بیشترین تأثیر را در لرزه خیزی منطقه مورد نظر

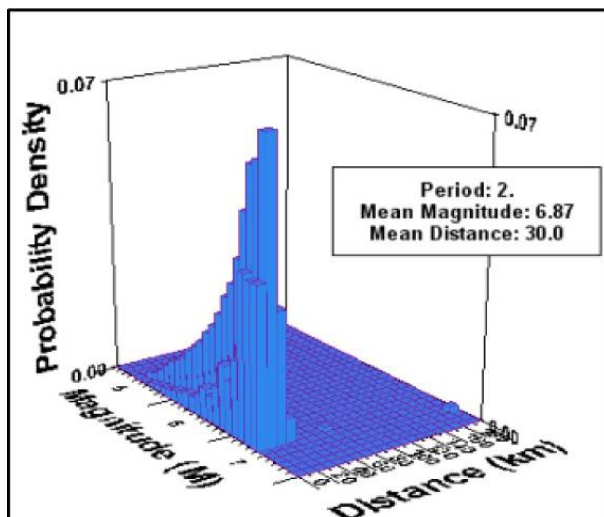
$$\bar{M} = \frac{\sum M_i h_i}{\sum h_i} \quad \bar{R} = \frac{\sum R_i h_i}{\sum h_i} \quad \text{رابطه (1)}$$



تصویر ۶- جدایش خطر لرزه ای برای دوره بازگشت ۴۷۵ سال در پریود ۰/۲ ثانیه.



تصویر ۷- جدایش خطر لرزه ای برای دوره بازگشت ۴۷۵ سال در پریود ۰/۵ ثانیه.

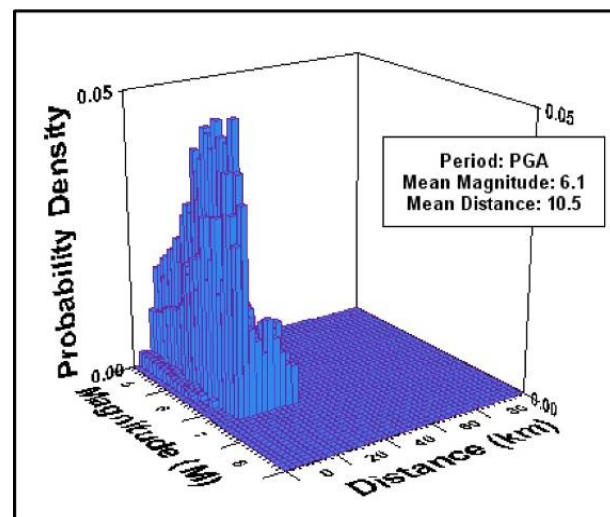


تصویر ۸- جدایش خطر لرزه ای برای دوره بازگشت ۴۷۵ سال در پریود ۰/۲ ثانیه.

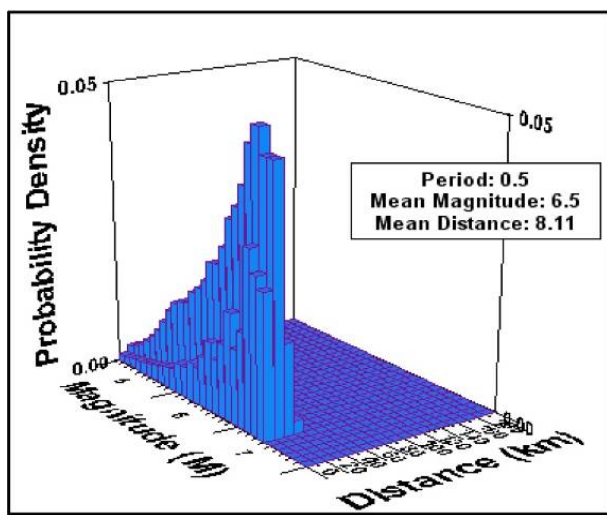
در این رابطه،  $M_i$  متوسط بزرگای چشمه‌ها و  $R_i$  متوسط فاصله چشمه‌ها در بسته  $i$  ام می‌باشد. جمع روی  $\alpha$  مشارکت همه چشمه‌های لرزه‌ای را در نظر می‌گیرد. از آن جا که  $\bar{M}$  و  $\bar{R}$  مستقل از اندازه بسته‌ها است، پارامترهای مناسبی در تفکیک خطر لرزه‌ای می‌باشند. بنابراین انتخاب مقادیر  $\bar{M}$  و  $\bar{R}$  به دست آمده از تفکیک خطر لرزه‌ای یک انتخاب منطقی در شبیه‌سازی زلزله است. بزرگای کنترل کننده، نقطه میانی یک بازه از بزرگای زمین لرزه‌هایی است که احتمالاً کنترل کننده طراحی می‌باشد (جراحی ۱۳۹۰). جدایش خطر لرزه ای برای دوره زمین لرزه‌های کنترل کننده، در محیط نرم افزار EZ-Frisk برای دوره بازگشت های ۴۷۵ و ۲۴۷۵ سال برای بیشینه شتاب و پریودهای ۰/۲، ۰/۵ و ۰/۲ ثانیه بر حسب فاصله از سایت و بزرگای زمین لرزه، برای سد بایچه باغ محاسبه شد (جدول ۵ و تصاویر ۵ تا ۱۴).

جدول ۵- زمین لرزه‌های کنترل کننده بر حسب فاصله برای دوره بازگشت های ۴۷۵ و ۲۴۷۵ سال

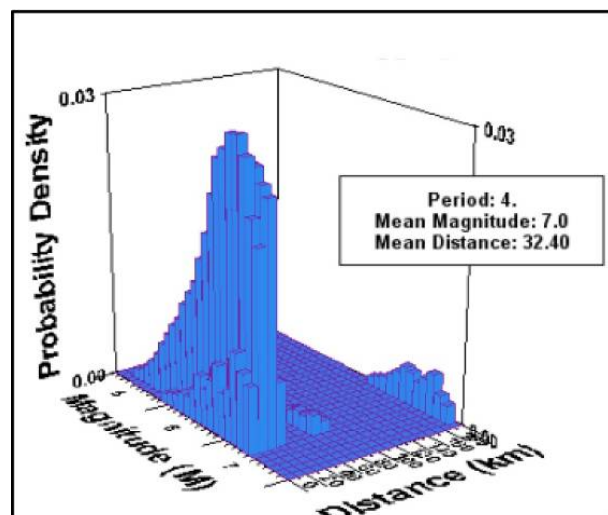
پریود (ثانیه)	فاصله (کیلومتر)	دوره بازگشت (سال)
۰/۵	۱۰/۵	۴۷۵
۰/۵	۱۱/۶	۲۴۷۵
۰/۵	۱۷/۲	۰/۵
۰/۹	۳۰	۰/۲
۰/۹	۳۲/۴	۰/۰



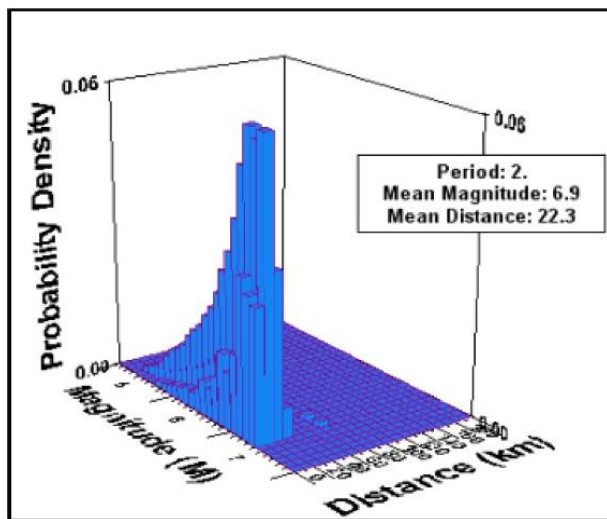
تصویر ۹- جدایش خطر لرزه ای برای دوره بازگشت ۴۷۵ سال در بیشینه شتاب.



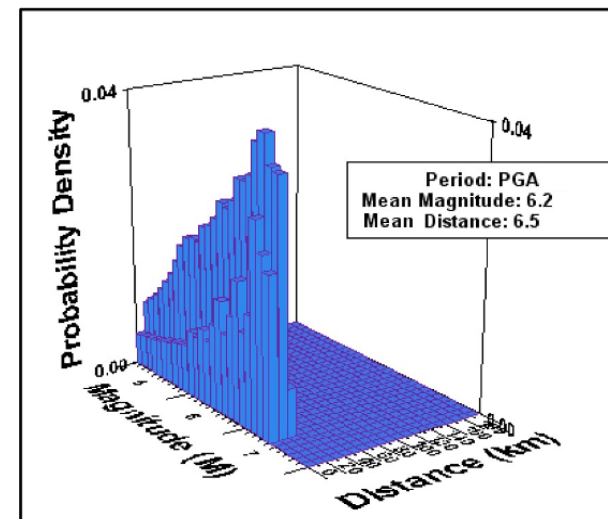
تصویر ۱۲- جدایش خطر لرزه‌ای برای دوره بازگشت ۲۴۷۵ سال در پریود ۰/۵ ثانیه.



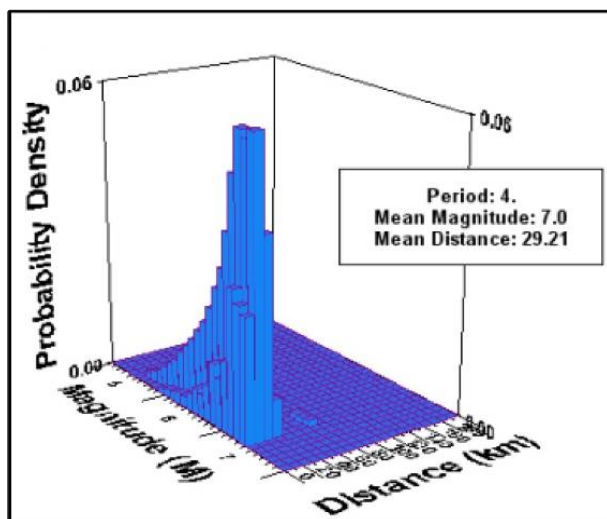
تصویر ۹- جدایش خطر لرزه‌ای برای دوره بازگشت ۴۷۵ سال در پریود ۴ ثانیه.



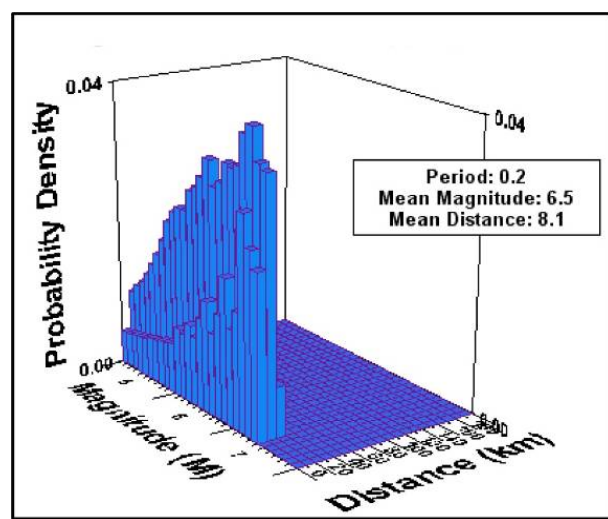
تصویر ۱۳- جدایش خطر لرزه‌ای برای دوره بازگشت ۲۴۷۵ سال در پریود ۲ ثانیه.



تصویر ۱۰- جدایش خطر لرزه‌ای برای دوره بازگشت ۲۴۷۵ سال در بیشینه شتاب.



تصویر ۱۴- جدایش خطر لرزه‌ای برای دوره بازگشت ۲۴۷۵ سال در پریود ۴ ثانیه.



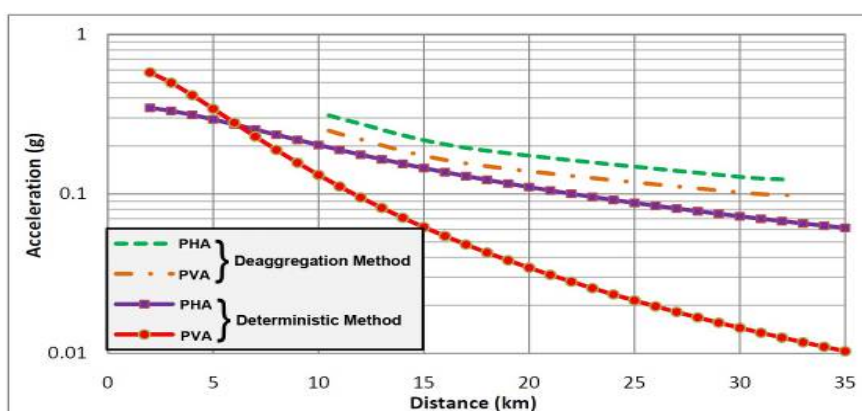
تصویر ۱۱- جدایش خطر لرزه‌ای برای دوره بازگشت ۲۴۷۵ سال در پریود ۰/۲ ثانیه.

جدول ۶- شتاب ناشی از زمین لرزه‌های کنترل کننده بر حسب فاصله برای دوره بازگشت ۲۴۷۵ سال

PVA	PHA	بزرگا	فاصله (کیلومتر)	پریود (ثانیه)	PGA
۰/۲۵	۰/۳۱	۶/۵	۱۰/۵	۱۰/۵	
۰/۲۳	۰/۲۸	۶/۵	۱۱/۶	۰/۲	
۰/۱۵	۰/۱۹	۶/۵	۱۷/۲	۰/۵	
۰/۱	۰/۱۳	۶/۹	۳۰	۲	
۰/۱	۰/۱۲	۷/۰	۳۲/۴	۴	

به طور کلی، پارامتر شتاب افقی و قائم برای دوره بازگشت ۲۴۷۵ سال از هر دو روش تعیینی (تصویر ۳) و جدایش خطر لرزه‌ای برآورد می‌شود (جدول ۶).

با توجه به نمودار شتاب-فاصله (تصویر ۱۵) حاصل از محاسبات فوق، روش جدایش خطر لرزه‌ای، دید واقع گرایانه تر را در ارتباط با زمین لرزه محتمل در ساختگاه سد نشان می‌دهد. بر این اساس، شتاب افقی و قائم محاسبه شده به روش جدایش خطر لرزه‌ای در پریود PGA به ترتیب ۴۴ درصد و ۲۷ درصد پایین تر از نتایج روش تعیینی است.

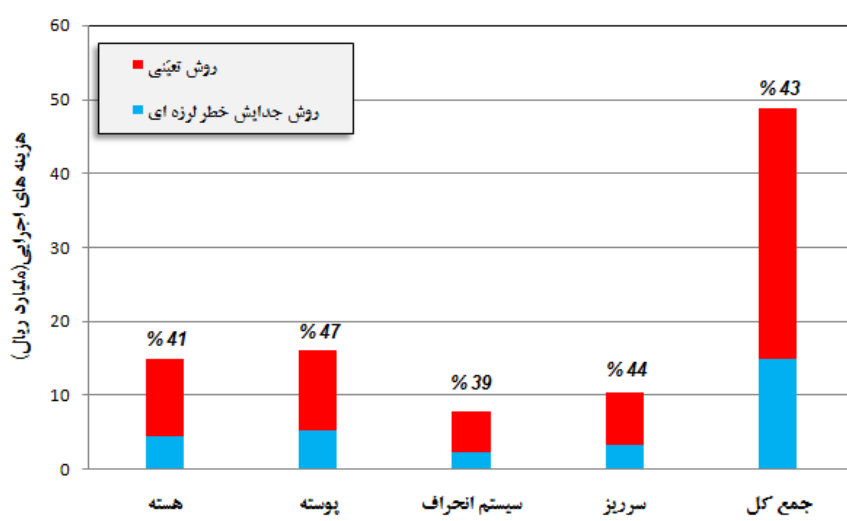


تصویر ۱۵- مقایسه شتاب نیرومند زمین در دوره بازگشت ۲۴۷۵ سال از روش تعیینی و جدایش خطر لرزه‌ای

مذکور، طراحی سد طی دو مرحله و بر اساس پارامترهای شتاب حاصل از هر دو روش صورت پذیرفت. تصویر ۶، نشان دهنده اختلاف ریالی در طراحی سد و پیامد اقتصادی هر دو روش می‌باشد. بر این اساس، به طور متوسط هزینه‌های طراحی سد بر مبنای نتایج روش جدایش خطر لرزه‌ای در مقایسه با روش تعیینی، به میزان ۴۳ درصد مقررین به صرفه تر بوده است.

### ۵- تأثیر در به گزینی اقتصادی

همان گونه که اشاره شد، در محاسبه زمین لرزه کنترل کننده به کمک روش جدایش خطر لرزه‌ای با وجود دقت بالای این روش، پارامترهای شتاب تا حد چشم گیری نسبت به روش تعیینی کاهش پیدا کرده است. طراحی این سد بر اساس سطح MCL انجام شد (گلابتونچی ۱۳۹۰). به منظور مقایسه اقتصادی بین نتایج دو روش



تصویر ۱۶- مقایسه هزینه‌های اقتصادی سد بهجهت آباد

## ۶- نتیجه‌گیری

گروه پژوهشی بهینه سازی مهندسی دانشکده فنی دانشگاه تهران، ۱۴۰ ص.

گلابتونچی ا.، ۱۳۹۰، "گزارش فنی سد بهجهت آباد"، شرکت عمران فرآب، کد ۱۰۱RDBB011R/00، ۲۵۰ ص.

معین فر، ع.، مهدویان ع.، مالکی ا.، ۱۳۷۳، "مجموعه اطلاعات پایه زلزله‌های ایران"، مرکز انتشارات مؤسسه نمایشنگاه‌های فرهنگی ایران، ۴۶ ص.

نیری، ع.، خادمی، ه.، حدادی، ح. و بهنام، م.، ۱۳۷۵، "استان‌های لرزه‌زمین ساخت ایران زمین"، کمیته فنی لرزه‌خیزی و مهندسی زمین لرزه در طراحی سدها، کمیته ملی سدهای بزرگ ایران، نشریه شماره ۳۲، ۱۲ ص.

**Ambraseys, N. N. & Melville, C. P., 1982,** "A history of Persian earthquakes", Cambridge University Press, 219 pp.

**Ambraseys, N. N. & Jackson, J. A., 1998,** "Faulting associated with historical and recent earthquakes in the eastern Mediterranean region", *Geophysics Journal Int.*, Vol. 133 (2): 390-406.

**Ambraseys, N. N., Douglas, J., Sarma, S. K. & Smit, P. M., 2005,** "Equation for the estimation of strong ground motions from shallow crustal earthquakes using data from Europe and the Middle East: Horizontal peak ground acceleration and spectral acceleration", *Bulletin of Earthquake Engineering*, Vol. 3 (1): 1-53.

**Abrahamson, N. A. & Silva, W. J., 1997,** "Empirical Response Spectral Attenuation Relations for Shallow Crustal Earthquakes", *Seismological Research Letters*, Vol. 68 (1): 94-127.

**Bazzurro, P. & Cornell, A., 1999,** "Deaggregation of seismic hazard", *Bulletin of the Seismological Society of America*, Ottawa, Bundesanstalt für Geowissenschaften und Rohstoffe, Vol. 89 (2): 501-520.

**Berberian, M., 1976,** "An explanatory note on the first seismotectonic map of Iran; a seismo-tectonic review of the country", *Geological Survey of Iran*, Vol. 39: 7-141.

**Berberian, M., 1995,** "Natural Hazards and the First Earthquake Catalogue of Iran", Vol. 1: *Historical Hazards in Iran Prior to 1900*, A UNESCO/IIEES Publication during UN/IDNDR, IIEES, Tehran, 649 pp.

**Campbell, K. W. & Bozorgnia Y., 2003,** "Updated Near-Source Ground Motion (Attenuation) Relation for the Horizontal and Vertical Components of Peak Ground Acceleration and Acceleration Response Spectra", *Bulletin of the Seismological Society of America*, Vol. 93 (1): 314-331.

**Engdahl, E. R., Jackson, J. A., Myers, S. C., Bergman, E. A. & Priestly, K., 2006,** "Relocation and assessment of seismicity in the Iran region", *Geophysics Journal Int.*, Vol. 167 (2): 761-778.

**EZ-FRISK 7.62 User's Manual, 2012.**

**Gardner, J. K. & L. Knopoff, 1974,** "Is the sequence of earthquakes in Southern California, with aftershocks" removed, Poissonian?", *Bulletin of the Seismological Society of America*, Vol. 64 (5): 1363-1367.

**Gutenberg, B. & Richter, C. F., 1956,** "Earthquake Magnitude, Intensity, Energy and Acceleration", *Bulletin*

در این مقاله، تحلیل خطر زمین لرزه برای ساختگاه سد بهجهت آباد به روش‌های تعیینی و احتمالی صورت پذیرفت. در این راستا به شناسایی چشم‌های لرزه‌زا و برآورده حداکثر توان لرزه‌زایی آن‌ها و معرفی مهم ترین چشم‌های لرزه‌زا نسبت به ساختگاه سد پرداخته شد. سپس شتاب نیرومند زمین برای سطوح مختلف لرزه‌ای جهت استفاده در طراحی سازه سد برآورد گردید. به منظور تعیین زمین لرزه کترول کننده، جدایش خطر لرزه‌ای برای مشارکت توأم بزرگ‌افاصله در ساختگاه سد مورد تجزیه و تحلیل قرار گرفت. بر این اساس، میانگین احتمال خطر مربوط به فاصله‌های ۱۰، ۱۷ و ۳۰ کیلومتری از ساختگاه می‌باشد که هم خوانی مناسبی با ویژگی‌های گسل‌های طالقان، شمال قزوین و شمال کرج دارد. بنابراین می‌توان گفت که اگرچه گسل آبیک در فاصله نزدیکتری (۲ کیلومتری) نسبت به ساختگاه سد قرار دارد ولی با در نظر گرفتن جدایش خطر لرزه‌ای، مشخص می‌شود که اهمیت گسل آبیک کمتر از سایر چشم‌های لرزه‌زا است. این مهم در طراحی لرزه‌ای سد بهجهت آباد، مورد توجه قرار گرفت و مشخص گردید که در صورت طراحی سد بر اساس پارامترهای حاصل از روش جدایش خطر لرزه‌ای می‌توان حدود ۴۳ درصد در هزینه‌های اقتصادی عملیات اجرایی سد بهجهت آباد صرفه جویی نمود.

همچنین پیشنهاد می‌گردد با توجه به اهمیت و بار مالی پروژه‌های عمرانی همانند سدها، نیروگاه‌ها، برج‌ها و ...، به جای روش تعیینی از روش جدایش خطر لرزه‌ای برای تعیین زمین لرزه کترول کننده در سطح طراحی MCL استفاده شود.

## تشکر و قدردانی

نگارندگان مقاله از مدیریت شرکت عمران فرآب به جهت در اختیار گذاشتن محیط، امکانات و اطلاعات مورد نیاز این پژوهش تشکر و قدردانی می‌نمایند.

## مراجع

- جراحی، ه.، ۱۳۹۰، "تحلیل خطر زمین لرزه در ساختگاه سد بهجهت آباد(شهرستان آبیک قزوین)", پایان نامه کارشناسی ارشد، دانشگاه آزاد اسلامی، واحد تهران شمال، ۲۵۰ ص.
- زارع، م.، ۱۳۷۴، "رابطه‌های مناسب برای بزرگ‌گا، شدت و بیشینه شتاب افقی بر اساس زمین لرزه‌های ایران"، پژوهشگاه بین‌المللی زلزله شناسی و مهندسی زلزله، سال ۴ (۶): ۱۲-۱۴.
- قلی‌پور، ی.، بزرگ‌نیا، ی.، رهنما، م.، بربیان، م.، قریشی، م.، طالبیان، م.، نظری، ح.، شجاع طاهری، ج. و شفیعی، ع.، ۱۳۹۰، "تحلیل خطر لرزه‌ای ایران - فاز ۱ محدوده تهران بزرگ"، جلد ۱،

of the Seismological Society of America, Vol. 46 (2): 105-145.

**Harmsen, S. & Frankel, A. 2001**, "Geographic Deaggregation of seismic hazard in the United States", *Bulletin of the Seismological Society of America*, Vol. 91: 13-26.

**Kijko, A. & Sellevoll, M. A., 1992**, "Estimation of Earthquake Hazard Parameters from Incomplete Data Files. Part II. Incorporation of Magnitude Heterogeneity", *Bulletin of the Seismological Society of America*, Vol. 82 (1): 120-134.

**Kijko A., 2011**, "Introduction to Probabilistic Seismic Hazard Analysis", *Encyclopedia of Solid Earth Geophysics*, Harsh Gupta (Ed.), Springer.

**Martini, P.M., Hessami K., Pantosti D., Addegio, D., Alinaghi H. & Ghafory-Ashtiani, M., 1997**, "A geologic contribution to the evaluation of the seismic potential of the Kahrizak fault (Tehran, Iran)", *Tectonophysics*, Vol. 287: 187- 199.

**Nazari, H., 2005**, "Seismotectonic map of the Central Alborz", *Geological Survey of Iran, Seismotectonic Department*, 1:250,000 color map.

**Nazari, H., Ritz, J.-F., Salamati, R., Shafei, A., Ghassemi, A., Michelot, J.-L., Massault, M. & Ghorashi, M., 2009**, "Morphological and palaeoseismological analysis along the Taleghan fault (central Alborz, Iran)" *Geophysical Journal International*, Vol. 178: 1028-1041.

**Nowroozi, A.A., 1985**, "Empirical relations between magnitudes and fault parameters for earthquakes in Iran", *Bulletin of the Seismological Society of America*. Vol. 75: 1327-1338.

**Powell, J. A. & Duda, S. J., 1975**, "A Statistical Study of Earthquake Occurrence", *Pageoph*, Vol. 113: 447-460.

**Ritz, J.F., Balescu, S., Sleymani, S., Abbassi, M., Nazari, H., Feghhi, K., Shabanian, E., Tabassi, H., Farbod, Y., Lamothe, M., Michelot, J.L., Massault, M., Che'ry, J. & Vernant, P., 2003**, "Geometry, kinematics and slip rate along the Mosha active fault, central Alborz", Nice, France, *EGU-AGU-EUG Joint Assembly*, 03-A-06057.

**Ritz, J.-F., Nazari, H., Balescu, S., Lamothe, M., Salamati, R., Ghassemi, A., Shafei, A., Ghorashi, M. & Saidi, A., 2012**, "Paleoearthquakes of the past 30,000 years along the North Tehran Fault (Iran)", *Journal of Geophysics, Research*, Vol. 117 (B6), doi: 10.1029/2012JB009147.

**Somerville, P., Collins, N., Abrahamson, N., Graves, R. & Saikia, C., 2001**, "Ground Motion Attenuation Relations for the Central and Eastern United States", *US Geological Survey, Award99HQGR0098, Final Reports*.

**Wells, D. L. & Coppersmith, K. J., 1994**, "New Empirical Relationships among Magnitude, Rupture Length, Rupture Width, Rupture Area and Surface Displacement", *Bulletin of the Seismological Society of America*, Vol. 84 (4): 974-1002.